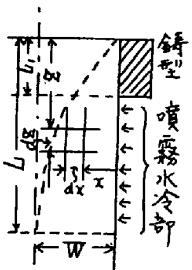


(92) 連続鑄造装置の理論解析

名大 工 鉄鋼工学教室 ○森 山 昭・ 鞭 巖



従来連続鑄造操作については移動する金属内の温度分布、凝固界面の位置分布などに
関する理論解および実験的研究が発表されている¹⁾が装置の設計および操作条件の決定を
目的とする立場での報告は少ない。本報では、物理金属の物性($t_m, C_p, \lambda, k, \rho$)、冷却条件(\bar{t}_c, \bar{t}_s)、
およびインゴット厚さ($2w$)を指定して、水冷銅鑄型長(L_1)、噴霧水冷部長($(1-\delta)L$)、冷却部全長(L)およ
びインゴット移動速度(u)を決定するための解析および計算法を示す。解析解を得るための便
宜から、いくつかの仮定を入れて、もと簡単な伝熱モデルを展用し、この中で述べる基本
的仮定の方は、より実際的なモデルに適用することができる。解析にあたり、つぎの仮
定を設ける。(1) 水冷鑄型は往復運動の振幅に相当する実効長さをもち、鑄型とインゴットの界面温度は平均温
度 \bar{t}_c で一定である。(2) マンディシユから流下するメタル流の温度は \bar{t}_1 で一定で、以後未凝固のメタルは平均温度 $\bar{t}_0 = (\bar{t}_1 + t_m)/2$
 に保たれる。(3) 噴霧水冷部のインゴットの表面温度は \bar{t}_s で一定である。(4) インゴットの移動方向の熱伝導は無視できる。
(5) メタルの凝固率は t_m で一定で、メタルの諸物性は温度によらず一定とする。(6) 噴霧水冷部の終端で凝固が完了す
るとする。図のモデルに基づき、中 $2w$ の無限平板状インゴットの凝固部の熱収支から(1)式が得られる。

$$\partial t / \partial z = (\alpha / u) \partial^2 t / \partial x^2; \alpha = k C_p / \rho \quad (1) \quad z = 0 \text{ 時 } x = 0 \quad (2) \quad z \geq 0, x = 0 \text{ 時 } t = \bar{t}_c \quad (3)$$

$$z \geq 0, x = x_i \text{ 時 } t = t_m \quad (4) \quad z \geq 0 \text{ 時 } k (\partial t / \partial x)_{x=x_i} = u \rho \{ \lambda + (\bar{t}_0 - t_m) C_p \} (dx_i / dz) \quad (5)$$

銅鑄型部での境界条件は(2)~(5)式である。いま(6)式の無次元パラメータを用いると、(1)~(5)式は(7)~(11)式となる。

$$\begin{aligned} \bar{\Phi} &= (t - \bar{t}_c) / (\bar{t}_0 - \bar{t}_c); \bar{\Phi}_m = (t_m - \bar{t}_c) / (\bar{t}_0 - \bar{t}_c); \bar{\Phi}_s = \{ (\lambda / C_p) + (\bar{t}_0 - t_m) \} / (\bar{t}_0 - \bar{t}_c); X = x / w \\ X_i &= x_i / w; H = \alpha z / u w^2; H_1 = \delta H_2; H_2 = \alpha L / u w^2; \delta = L_1 / L \end{aligned} \quad (6)$$

$$\partial \bar{\Phi} / \partial H = \partial^2 \bar{\Phi} / \partial X^2 \quad (7) \quad H = 0 \text{ 時 } X_i = 0 \quad (8) \quad H \geq 0, X = 0 \text{ 時 } \bar{\Phi} = 0 \quad (9)$$

$$H \geq 0, X = X_i \text{ 時 } \bar{\Phi} = \bar{\Phi}_m \quad (10) \quad H \geq 0 \text{ 時 } (\partial \bar{\Phi} / \partial X)_{X=X_i} = \bar{\Phi}_s (dX_i / dH) \quad (11)$$

解として、 $\bar{\Phi} = \bar{\Phi}_m \operatorname{erfc}(X / 2\sqrt{H}) / \operatorname{erfc}(\gamma)$ (12), $X_i = 2\gamma\sqrt{H}$ (13), $\bar{\Phi}_m e^{-\gamma^2} = \sqrt{\pi} \gamma \bar{\Phi}_s \operatorname{erfc}(\gamma)$ (14) が得られる。噴霧水冷部のB.C.は

$$H = H_1 \text{ 時 } X_i = X_{i,1} \quad (15) \quad H \geq H_1, X = 0 \text{ 時 } \bar{\Phi} = \bar{\Phi}_s \quad (16) \quad H \geq H_1, X = X_i \text{ 時 } \bar{\Phi} = \bar{\Phi}_m \quad (17) \quad H \geq H_1 \text{ 時 } (\partial \bar{\Phi} / \partial X)_{X=X_i} = \bar{\Phi}_s (dX_i / dH) \quad (18)$$

(7)式は(19)式の形の角解を満足するので、(16),(17)式から* $\bar{\Phi} = A + B \operatorname{erfc}\{(X - X_{i,1}) / 2\sqrt{H - H_1}\}$; (A, B定数) (19)

* $\bar{\Phi}_m = A + B \operatorname{erfc}\{(X_i - X_{i,1}) / 2\sqrt{H - H_1}\}$; $\bar{\Phi}_s = A - B \operatorname{erfc}\{X_{i,1} / 2\sqrt{H - H_1}\}$ とする。いま、 $X_i - X_{i,1} = 2\xi\sqrt{H - H_1}$ により、定数を定義すると、Bは定数と見なす。そこで、 $H = H_1$ および $H = H_2$ における上二式のBの算術平均値を近似的にBとする。仮定6よりの $H = H_2$ 時 $X_i = 1$ を考慮し、(7),(15)-(18)式の角解は、(20)と(22)式とする。

$$\bar{\Phi} = \bar{\Phi}_m - \frac{1}{2} (\bar{\Phi}_m - \bar{\Phi}_s) \left\{ \frac{1}{1 + \operatorname{erfc} \xi} + \frac{1}{\operatorname{erfc} \xi + \operatorname{erfc} \left(\frac{\xi - X_{i,1}}{2\sqrt{H - H_1}} \right)} \right\} e^{-\xi^2} = 2\sqrt{\pi} \bar{\Phi}_s \xi \quad (20)$$

まず、(14)式より、 γ が求められ、(13)式に γ を代入して、 $H_1 = \delta H_2 = X_{i,1}^2 / 4\gamma^2$ が定まる。つぎに、(22)式より、 ξ を求め、(21)式より、 $H_2 = H_1 + (1 + X_{i,1})^2 / 4\xi^2$ が決定できる。よって、 H_1 と H_2 から δ が定まる。 H_2 の値より、定義(6)に基づき、全冷却部長さ L とインゴット移動速度 u の値を定めることができる。鑄型長さは δL から計算できる。

(記号) C_p : 比熱, k : 熱伝導度, x_i : 凝固相厚さ, $x_{i,1}$: 鑄型下端での凝固相厚さ, λ : 潜熱, ρ : 密度,
 $\bar{\Phi}_s = (\bar{t}_s - \bar{t}_c) / (\bar{t}_0 - \bar{t}_c)$

(引用文献)
 1) K. & Z. B. R. W. Ruddle: "The Solidification of Casting", p. 253~286 (Inst. Metals, 1957);
 R. D. Pehlke: Metals Eng. Quart., 4 (2), 42 (1964)